



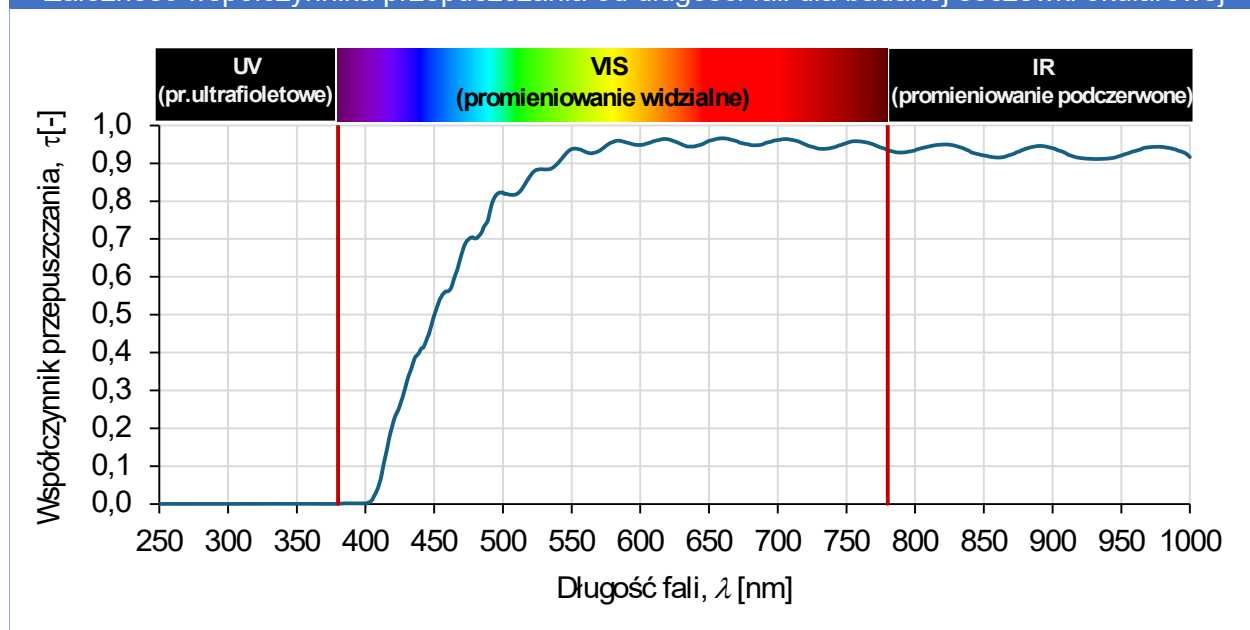
PROTOKÓŁ Z BADANIA

Dane identyfikacyjne	
Zlecniodawca:	Twoje Oczy sp. z o.o. ul. Lawendowa 20; 38-200 Jasło
Przedmiot badań:	Żółta soczewka okularowa wykonana z tworzywa CR-39
Zakres badań:	Współczynnik przepuszczania w zakresie od 300 nm do 1000 nm
Data wykonania badań:	23.05.2026 r.
Wykonawca pomiarów:	Przemysław Tabaka (przemyslaw.tabaka@p.lodz.pl)

Zdjęcie badanego obiektu – żółta soczewka okularowa



Zależność współczynnika przepuszczania od długości fali dla badanej soczewki okularowej





PROTOKÓŁ Z BADANIA

Wartości współczynnika przepuszczania τ w funkcji długości fali λ - część 1 z 5

λ [nm]	τ [-]
250	0,000
251	0,000
252	0,000
253	0,000
254	0,000
255	0,000
256	0,000
257	0,000
258	0,000
259	0,000
260	0,000
261	0,000
262	0,000
263	0,000
264	0,000
265	0,000
266	0,000
267	0,000
268	0,000
269	0,000
270	0,000
271	0,000
272	0,000
273	0,000
274	0,000
275	0,000
276	0,000
277	0,000
278	0,000
279	0,000
280	0,000
281	0,000
282	0,000
283	0,000
284	0,000
285	0,000
286	0,000
287	0,000
288	0,000
289	0,000
290	0,000

λ [nm]	τ [-]
291	0,000
292	0,000
293	0,000
294	0,000
295	0,000
296	0,001
297	0,000
298	0,000
299	0,000
300	0,000
301	0,000
302	0,000
303	0,000
304	0,000
305	0,000
306	0,000
307	0,000
308	0,000
309	0,000
310	0,000
311	0,000
312	0,000
313	0,000
314	0,000
315	0,000
316	0,000
317	0,000
318	0,000
319	0,000
320	0,000
321	0,000
322	0,000
323	0,000
324	0,000
325	0,000
326	0,000
327	0,000
328	0,000
329	0,000
330	0,000
331	0,000

λ [nm]	τ [-]
332	0,000
333	0,000
334	0,000
335	0,000
336	0,000
337	0,000
338	0,000
339	0,000
340	0,000
341	0,000
342	0,000
343	0,000
344	0,000
345	0,000
346	0,000
347	0,000
348	0,000
349	0,000
350	0,000
351	0,000
352	0,000
353	0,000
354	0,000
355	0,000
356	0,000
357	0,000
358	0,000
359	0,000
360	0,000
361	0,000
362	0,000
363	0,000
364	0,000
365	0,000
366	0,000
367	0,000
368	0,000
369	0,000
370	0,000
371	0,000
372	0,000

λ [nm]	τ [-]
373	0,000
374	0,000
375	0,000
376	0,000
377	0,000
378	0,000
379	0,000
380	0,000
381	0,001
382	0,001
383	0,001
384	0,001
385	0,002
386	0,002
387	0,002
388	0,002
389	0,002
390	0,002
391	0,002
392	0,002
393	0,002
394	0,001
395	0,001
396	0,001
397	0,001
398	0,001
399	0,001
400	0,002
401	0,001
402	0,004
403	0,005
404	0,008
405	0,012
406	0,020
407	0,026
408	0,034
409	0,042
410	0,054
411	0,066
412	0,083
413	0,102



PROTOKÓŁ Z BADANIA

Wartości współczynnika przepuszczania τ w funkcji długości fali λ - część 2 z 5

λ [nm]	τ [-]
414	0,119
415	0,135
416	0,152
417	0,170
418	0,186
419	0,199
420	0,214
421	0,226
422	0,235
423	0,242
424	0,250
425	0,260
426	0,272
427	0,282
428	0,296
429	0,308
430	0,322
431	0,335
432	0,345
433	0,354
434	0,366
435	0,377
436	0,387
437	0,391
438	0,395
439	0,400
440	0,408
441	0,412
442	0,413
443	0,421
444	0,430
445	0,440
446	0,448
447	0,461
448	0,473
449	0,487
450	0,499
451	0,509
452	0,520
453	0,530
454	0,541

λ [nm]	τ [-]
455	0,547
456	0,553
457	0,557
458	0,561
459	0,562
460	0,562
461	0,565
462	0,569
463	0,578
464	0,591
465	0,602
466	0,612
467	0,622
468	0,636
469	0,649
470	0,661
471	0,673
472	0,684
473	0,691
474	0,696
475	0,699
476	0,703
477	0,704
478	0,705
479	0,702
480	0,702
481	0,703
482	0,707
483	0,710
484	0,715
485	0,722
486	0,732
487	0,737
488	0,742
489	0,749
490	0,764
491	0,780
492	0,794
493	0,803
494	0,811
495	0,816

λ [nm]	τ [-]
496	0,820
497	0,822
498	0,823
499	0,823
500	0,823
501	0,819
502	0,820
503	0,819
504	0,818
505	0,817
506	0,817
507	0,817
508	0,817
509	0,818
510	0,819
511	0,821
512	0,825
513	0,828
514	0,833
515	0,839
516	0,845
517	0,851
518	0,857
519	0,862
520	0,867
521	0,873
522	0,877
523	0,880
524	0,882
525	0,883
526	0,884
527	0,884
528	0,885
529	0,884
530	0,884
531	0,884
532	0,884
533	0,884
534	0,885
535	0,886
536	0,888

λ [nm]	τ [-]
537	0,891
538	0,894
539	0,897
540	0,900
541	0,905
542	0,909
543	0,913
544	0,918
545	0,922
546	0,926
547	0,930
548	0,933
549	0,936
550	0,938
551	0,939
552	0,939
553	0,939
554	0,938
555	0,937
556	0,937
557	0,936
558	0,934
559	0,932
560	0,931
561	0,929
562	0,928
563	0,927
564	0,927
565	0,927
566	0,928
567	0,928
568	0,930
569	0,931
570	0,933
571	0,935
572	0,938
573	0,941
574	0,943
575	0,946
576	0,949
577	0,951





PROTOKÓŁ Z BADANIA

Wartości współczynnika przepuszczania τ w funkcji długości fali λ - część 3 z 5

λ [nm]	τ [-]
578	0,954
579	0,955
580	0,956
581	0,958
582	0,959
583	0,960
584	0,960
585	0,960
586	0,959
587	0,958
588	0,957
589	0,956
590	0,955
591	0,954
592	0,953
593	0,952
594	0,951
595	0,950
596	0,949
597	0,949
598	0,949
599	0,949
600	0,949
601	0,949
602	0,949
603	0,951
604	0,952
605	0,953
606	0,954
607	0,955
608	0,956
609	0,958
610	0,959
611	0,960
612	0,961
613	0,961
614	0,962
615	0,963
616	0,964
617	0,964
618	0,965

λ [nm]	τ [-]
619	0,964
620	0,964
621	0,963
622	0,962
623	0,960
624	0,959
625	0,958
626	0,957
627	0,955
628	0,953
629	0,952
630	0,950
631	0,949
632	0,947
633	0,946
634	0,945
635	0,944
636	0,944
637	0,944
638	0,944
639	0,945
640	0,945
641	0,946
642	0,947
643	0,948
644	0,949
645	0,950
646	0,952
647	0,954
648	0,956
649	0,958
650	0,959
651	0,960
652	0,961
653	0,962
654	0,963
655	0,964
656	0,965
657	0,966
658	0,966
659	0,966

λ [nm]	τ [-]
660	0,966
661	0,966
662	0,966
663	0,965
664	0,964
665	0,964
666	0,963
667	0,962
668	0,961
669	0,960
670	0,959
671	0,957
672	0,955
673	0,954
674	0,953
675	0,952
676	0,952
677	0,951
678	0,951
679	0,950
680	0,949
681	0,948
682	0,948
683	0,948
684	0,948
685	0,948
686	0,948
687	0,949
688	0,949
689	0,950
690	0,952
691	0,954
692	0,955
693	0,956
694	0,956
695	0,957
696	0,959
697	0,960
698	0,960
699	0,961
700	0,962

λ [nm]	τ [-]
701	0,962
702	0,963
703	0,963
704	0,964
705	0,964
706	0,964
707	0,964
708	0,964
709	0,963
710	0,962
711	0,962
712	0,961
713	0,960
714	0,959
715	0,958
716	0,957
717	0,955
718	0,953
719	0,951
720	0,950
721	0,948
722	0,947
723	0,946
724	0,945
725	0,944
726	0,943
727	0,942
728	0,940
729	0,939
730	0,939
731	0,938
732	0,938
733	0,938
734	0,938
735	0,939
736	0,939
737	0,939
738	0,940
739	0,941
740	0,942
741	0,943





PROTOKÓŁ Z BADANIA

Wartości współczynnika przepuszczania τ w funkcji długości fali λ - część 4 z 5

λ [nm]	τ [-]
742	0,944
743	0,945
744	0,947
745	0,948
746	0,949
747	0,950
748	0,951
749	0,952
750	0,954
751	0,955
752	0,956
753	0,957
754	0,958
755	0,958
756	0,959
757	0,959
758	0,959
759	0,958
760	0,958
761	0,957
762	0,957
763	0,956
764	0,956
765	0,955
766	0,954
767	0,953
768	0,952
769	0,951
770	0,949
771	0,948
772	0,946
773	0,944
774	0,943
775	0,942
776	0,941
777	0,940
778	0,939
779	0,937
780	0,936
781	0,934
782	0,933

λ [nm]	τ [-]
783	0,932
784	0,931
785	0,930
786	0,929
787	0,929
788	0,929
789	0,929
790	0,929
791	0,929
792	0,929
793	0,929
794	0,930
795	0,931
796	0,932
797	0,932
798	0,933
799	0,933
800	0,935
801	0,936
802	0,938
803	0,938
804	0,940
805	0,941
806	0,942
807	0,942
808	0,943
809	0,944
810	0,945
811	0,946
812	0,946
813	0,947
814	0,948
815	0,948
816	0,949
817	0,949
818	0,949
819	0,949
820	0,950
821	0,950
822	0,950
823	0,950

λ [nm]	τ [-]
824	0,950
825	0,949
826	0,949
827	0,948
828	0,947
829	0,947
830	0,945
831	0,945
832	0,943
833	0,942
834	0,941
835	0,940
836	0,938
837	0,936
838	0,935
839	0,934
840	0,931
841	0,929
842	0,928
843	0,927
844	0,926
845	0,925
846	0,924
847	0,923
848	0,922
849	0,922
850	0,921
851	0,920
852	0,920
853	0,919
854	0,918
855	0,917
856	0,917
857	0,916
858	0,916
859	0,916
860	0,915
861	0,915
862	0,916
863	0,916
864	0,916

λ [nm]	τ [-]
865	0,917
866	0,918
867	0,920
868	0,921
869	0,922
870	0,923
871	0,924
872	0,926
873	0,928
874	0,929
875	0,931
876	0,932
877	0,934
878	0,935
879	0,936
880	0,938
881	0,939
882	0,940
883	0,941
884	0,942
885	0,943
886	0,944
887	0,945
888	0,945
889	0,946
890	0,946
891	0,946
892	0,946
893	0,946
894	0,945
895	0,944
896	0,944
897	0,943
898	0,942
899	0,941
900	0,940
901	0,939
902	0,938
903	0,936
904	0,935
905	0,934



PROTOKÓŁ Z BADANIA

Wartości współczynnika przepuszczania τ w funkcji długości fali λ - część 5 z 5

λ [nm]	τ [-]
906	0,932
907	0,931
908	0,930
909	0,928
910	0,926
911	0,924
912	0,922
913	0,921
914	0,920
915	0,918
916	0,917
917	0,916
918	0,916
919	0,915
920	0,914
921	0,914
922	0,914
923	0,913
924	0,913
925	0,912
926	0,912
927	0,912
928	0,912
929	0,912
930	0,912
931	0,912
932	0,911
933	0,912
934	0,912
935	0,912
936	0,912
937	0,912
938	0,912
939	0,912
940	0,913
941	0,913
942	0,913
943	0,914
944	0,914
945	0,915
946	0,916

λ [nm]	τ [-]
947	0,917
948	0,919
949	0,920
950	0,921
951	0,922
952	0,924
953	0,925
954	0,926
955	0,927
956	0,928
957	0,930
958	0,931
959	0,932
960	0,932
961	0,934
962	0,935
963	0,936
964	0,937
965	0,939
966	0,940
967	0,941
968	0,942
969	0,942
970	0,942
971	0,943
972	0,943
973	0,943
974	0,944
975	0,944
976	0,944
977	0,944
978	0,944
979	0,944
980	0,943
981	0,943
982	0,942
983	0,942
984	0,941
985	0,941
986	0,940
987	0,939

λ [nm]	τ [-]
988	0,938
989	0,937
990	0,936
991	0,934
992	0,933
993	0,932
994	0,931
995	0,929
996	0,928
997	0,926
998	0,924
999	0,920
1000	0,917
988	0,938
989	0,937
990	0,936
991	0,934
992	0,933
993	0,932
994	0,931
995	0,929
996	0,928
997	0,926
998	0,924
999	0,920
1000	0,917